

# РЕГУЛЯРНАЯ И ХАОТИЧЕСКАЯ ДИНАМИКА ДИПОЛЬНОГО МОМЕНТА КВАДРАТНЫХ МАССИВОВ ДИПОЛЕЙ

*А. М. Шутый\**

*Ульяновский государственный университет  
432970, Ульяновск, Россия*

Поступила в редакцию 24 декабря 2013 г.

Исследованы дипольные решетки, представляющие собой квадратные массивы диполей. Получены разные типы равновесной конфигурации массивов и показаны условия их установления. На основе параметрических бифуркационных диаграмм рассмотрены основные виды регулярных и хаотических колебательных режимов суммарного дипольного момента систем; исследована их зависимость от амплитуды, частоты и поляризации переменного поля, а также от исходной равновесной конфигурации массивов. Показаны сценарии возникновения хаотических режимов, в том числе через установление и изменение квазипериодических колебаний дипольного момента системы. Выявлено состояние динамической бистабильности, при котором может быть реализован стохастический резонанс — рост отклика системы на воздействие гармонического сигнала при наличии шума.

DOI: 10.7868/S0044451014060093

## 1. ВВЕДЕНИЕ

Интерес к самоорганизующимся системам, в том числе к ансамблям наночастиц, приобрел особое значение в связи с достижениями в области информационных технологий и наноструктур. Ансамбли однодоменных частиц являются также удобными объектами для изучения фазовых переходов и других коллективных эффектов вследствие возможности эффективного управления их состоянием. В последние годы ведется систематическое изучение и внедрение в практику создаваемых нанотехнологиями [1] дипольных, в частности магнитных, сверхструктур. Среди них особый интерес представляют двумерные сверхструктуры в виде квадратных решеток наночастиц с формой, близкой к круговой [2]. Упорядоченные структуры ферромагнитных наночастиц можно сформировать методом нанолитографии [3], используя в качестве диполей состоящие из атомов железа наночастицы, которые имеют размер около 10 нм (число атомов  $\sim 100$ , что обеспечивает их сферическую форму) и магнитный момент  $3\mu_B$  [4]. Уже сейчас разброс наночастиц по размерам при соответствующем контроле может быть меньше 5 % [5].

Дипольный момент наночастиц можно считать классической величиной, и в случае однодоменного состояния основной вклад при взаимодействии наночастиц вносит диполь-дипольное взаимодействие [3, 6]. Накопители информации, изготовленные на основе массивов из магнитных диполей, являются одним из наиболее перспективных видов запоминающих устройств.

В связи с этим большое значение приобретают также исследования влияния на дипольные решетки статических и переменных полей, выявление нелинейных регулярных и хаотических режимов, что представляет интерес, связанный не только с практическим применением, но также с общими вопросами нелинейной динамики. При широко проводимых в настоящее время исследованиях хаотических эффектов [7–9] актуальным является как выявление условий генерации или подавления хаоса, так и изучение влияния стохастических сигналов на динамические режимы. Это связано, в частности, с рядом эффектов, обусловленных влиянием шума [7]. К одному из таких эффектов относится стохастический резонанс, обнаруженный в системах различной природы и проявляемый в усилении отклика системы на воздействие регулярного сигнала при наличии шума [10–12]. При исследовании нелинейной динамики во многих случаях важным является нахождение состояний бистабильности [7, 8, 13], так как в них

\*E-mail: shuty@mail.ru

система оказывается неустойчивой по отношению к дополнительным возмущениям.

В настоящей работе при предварительном рассмотрении различных типов равновесных конфигураций квадратных массивов диполей и способов их установления исследуются нелинейные колебательные режимы суммарного дипольного момента систем под воздействием внешнего переменного поля. Выявлены основные особенности регулярных и хаотических колебаний, обусловленные как параметрами внешнего поля — его частотой, амплитудой и поляризацией, — так и исходной равновесной конфигурацией массивов. Для анализа переходов между колебательными режимами при изменении параметров поля построены бифуркационные диаграммы. Приведены сценарии возникновения хаотических колебаний, в частности при трансформации аттракторов квазипериодических режимов. Показана возможность реализации стохастического резонанса в условиях состояния динамической бистабильности дипольного момента системы.

## 2. ИСХОДНЫЕ УРАВНЕНИЯ

При рассмотрении системы диполей полагаем, что они связаны диполь-дипольным взаимодействием и каждый из них может поворачиваться вокруг центра симметрии. Положение диполей в системе принимается неизменным, а тела с дипольными моментами — однородными и шарообразными [14]. Динамические уравнения для системы диполей имеют вид [15–17]

$$\begin{aligned} J_i \frac{d\boldsymbol{\omega}_i}{dt} + \alpha_i \boldsymbol{\omega}_i &= \mathbf{p}_i \times \mathbf{F}_i, \\ \frac{d\mathbf{p}_i}{dt} &= \boldsymbol{\omega}_i \times \mathbf{p}_i, \end{aligned} \quad (1)$$

где  $\mathbf{p}_i$  и  $\boldsymbol{\omega}_i = d\boldsymbol{\varphi}_i/dt$  — дипольный момент и угловая скорость  $i$ -го диполя ( $\varphi_{ij}$  — угол поворота диполя вокруг оси  $j = x, y, z$ ),  $J_i$  — момент инерции,  $\alpha_i$  — параметр диссипации. Поле, создаваемое в месте расположения  $i$ -го диполя остальными диполями и внешним полем  $\mathbf{f}$ , определяется выражением

$$\mathbf{F}_i = \sum_{n \neq i} \left[ \frac{3\mathbf{e}_{in}(\mathbf{p}_n \cdot \mathbf{e}_{in}) - \mathbf{p}_n}{a^3 l_{in}^3} \right] + \mathbf{f}, \quad (2)$$

где  $\mathbf{e}_{in} = \mathbf{r}_{in}/r_{in}$  — единичные векторы вдоль направления,  $\mathbf{r}_{in}$  — вектор между расположениями  $i$ -го и  $n$ -го диполей,  $l_{in} = r_{in}/a$  — расстояние, нормированное на характерный параметр системы  $a$ . В рассматриваемых массивах, представляющих собой

квадратные решетки,  $a$  — расстояние между ближайшими диполями в ряде. Составляющие массив диполи принимаются идентичными:  $|\mathbf{p}_i| = p$ ,  $J_i = J$ ,  $\alpha_i = \alpha$ . Далее перейдем к безразмерным параметрам [15]:

$$\rho_{ij} = \frac{p_{ij}}{p}, \quad \beta = \frac{\alpha}{\nu J}, \quad \boldsymbol{\omega}_i = \frac{d\boldsymbol{\varphi}_i}{d\tau}, \quad (3)$$

где  $\nu = \sqrt{p^2/Ja^3}$  и дифференцирование проводится по безразмерному времени  $\tau = \nu t$ . Компоненты внешнего поля преобразуются к виду  $\phi_j = f_j a^3/p$ . В случае решеток, формируемых частицами с магнитным дипольным моментом, в уравнениях (1), (2)  $\mathbf{F}_i$  и  $\mathbf{f}$  являются напряженностями магнитных полей; в случае решеток электрических диполей в выражения входят соответственно напряженности электрических полей.

## 3. РАВНОВЕСНЫЕ СОСТОЯНИЯ КВАДРАТНЫХ МАССИВОВ ДИПОЛЕЙ

Численный анализ показывает, что после ориентации диполей квадратных массивов вдоль внешнего поля при последующем выключении поля устанавливается, в зависимости от величины массива, один из двух типов равновесной конфигурации дипольных моментов. На рис. 1а приведена равновесная конфигурация массивов  $5 \times 5$  и  $7 \times 7$  после выключения поля, ориентированного вдоль оси  $y$ , совпадающей с одной из сторон массива (ось  $x$  является нормалью к плоскости, в которой расположен массив). Для данных массивов, а также для других массивов с нечетным числом диполей более 9 (для массивов  $9 \times 9$ ,  $11 \times 11$  и т. д., расчеты проводились до систем  $17 \times 17$ ) равновесная конфигурация оказывается зеркально-симметричной относительно диагонали массива, при этом ориентация дипольных моментов в центральных областях таких систем имеет «седлообразный» вид. Далее указанную равновесную конфигурацию будем называть симметричной.

На рис. 1б,в приведены две равновесные конфигурации массивов  $6 \times 6$  и  $8 \times 8$ , характерные и для больших массивов с четным числом диполей более 16 (для массивов  $10 \times 10$ ,  $12 \times 12$ , . . .). При этом после выключения внешнего поля устанавливается только конфигурация б, называемая далее несимметричной, когда присутствует центральная область, в которой направление дипольных моментов мало меняется относительно направления ранее приложенного внешнего поля и противоположного ему направления. Конфигурация же в, подобная равновесной кон-

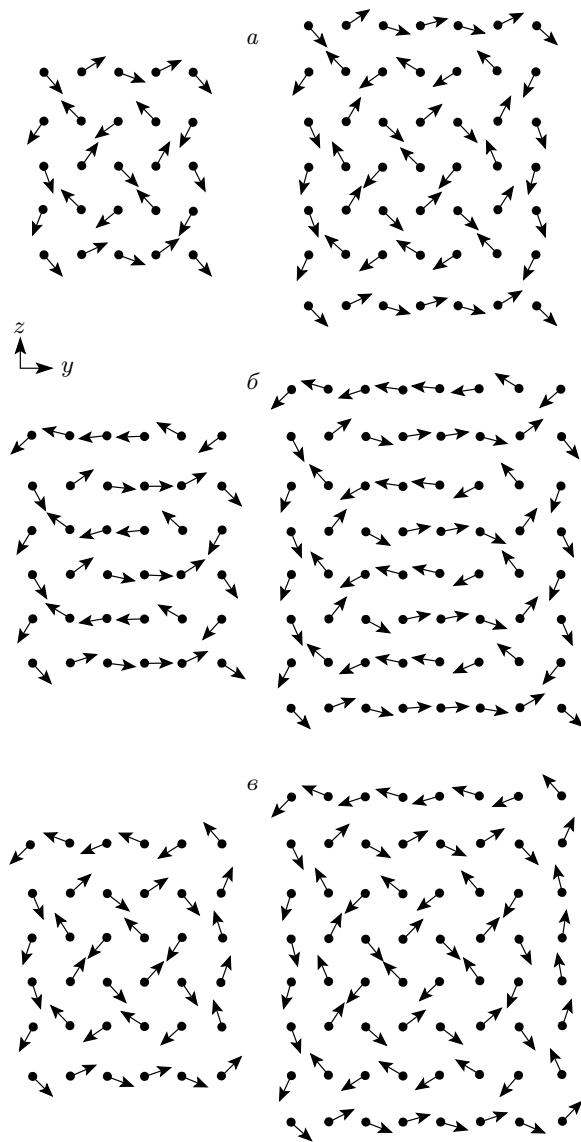


Рис. 1. Симметричная (а, в) и несимметричная (б) равновесные конфигурации квадратных массивов диполей

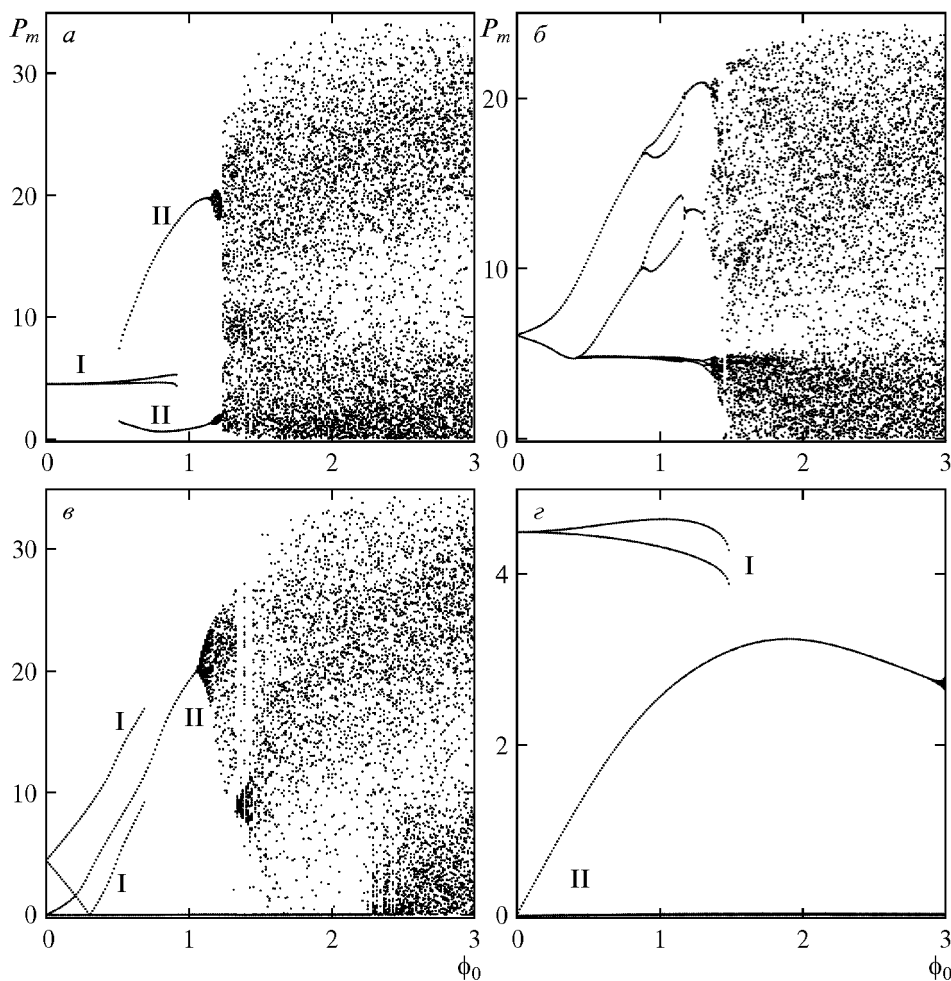
фигурации массивов  $5 \times 5$  и  $7 \times 7$  и имеющая ось симметрии четвертого порядка, не может быть установлена с помощью внешнего статического поля. Суммарный дипольный момент системы  $\mathbf{P} = \sum \rho_i$ , в таком состоянии равен нулю в отличие от конфигурации б. Для установления данной равновесной конфигурации, также далее именуемой симметричной, требуется предварительное возбуждение определенных динамических режимов дипольного момента системы и последующее их выключение (о чем будет сказано ниже).

Объяснение того, что массивы с четным числом диполей могут иметь несимметричную равновесную конфигурацию (рис. 1б), а с нечетным числом диполей — только симметричную (рис. 1в), может заключаться в следующем. При четном числе диполей оказывается возможным разбиение массива на пары рядов с диполями, ориентированными по ранее приложенному полю, и противоположно ориентированными диполями. В случае же нечетного числа диполей при разбиении на пары рядов один ряд оказывается «лишним», что и приводит к изменению всей конфигурации системы по симметричному типу. Однако заметим, что несимметричная конфигурация обнаружена также в массиве  $13 \times 13$ . Исключение, кроме того, составляют массивы  $3 \times 3$  и  $4 \times 4$ , так как являются слишком малыми для формирования характерных элементов соответствующих конфигураций; в результате система  $3 \times 3$ , как правило, имеет конфигурацию, близкую к несимметричной, а система  $4 \times 4$  имеет только симметричную конфигурацию. В случае больших массивов — более  $17 \times 17$  — наблюдаются нарушения симметрии равновесных конфигураций, связанные с возникновением доменов.

Численный анализ проводился методом Рунге–Кутты четвертого порядка, записанным для системы  $6N$  уравнений, где  $N$  — число диполей в массиве. Как показали расчеты для различных систем с диполь-дипольным взаимодействием, при численном анализе недостаточно учитывать связь каждого диполя только с ближайшими его соседями. В данных исследованиях рассчитывалась система уравнений, в которой состояние каждого диполя определяется его взаимодействием со всеми диполями массива. Для полученных равновесных конфигураций массивов были также проведены исследования величины энергии диполь-дипольного взаимодействия, которые показали, что любое изменение ориентации диполей (в том числе в направлении нормали к плоскости массивов) в данных конфигурациях приводит к ее увеличению, что подтверждает устойчивое равновесие полученных ориентационных состояний.

#### 4. РЕГУЛЯРНЫЕ И ХАОТИЧЕСКИЕ КОЛЕБАНИЯ ДИПОЛЬНОГО МОМЕНТА

В случае возбуждения системы диполей линейно поляризованным переменным полем  $\mathbf{f}_0 \sin(\omega t)$  реализуются различные динамические состояния. Рассмотрим динамику дипольного момента массивов на примере систем  $5 \times 5$  и  $6 \times 6$  (колебательные режимы других массивов являются подобными). Анализ ре-



**Рис. 2.** Диаграммы зависимости экстремумов  $P_m = P_{max}, P_{min}$  суммарного дипольного момента систем  $6 \times 6$  (а, в, з) и  $5 \times 5$  (б) от амплитуды переменного поля при частоте  $\Omega = 1$  (а-в), 3 (з) и угле поляризации  $\psi = 0$  (а, з),  $\pi/2$  (б, в); параметр диссипации  $\beta = 1$

жимов суммарного дипольного момента удобно проводить с помощью параметрических бифуркационных диаграмм [8]. На рис. 2 приведены диаграммы для суммарного дипольного момента  $\mathbf{P}$  систем  $6 \times 6$  (а, в, з) и  $5 \times 5$  (б) на плоскости  $(P_m; \phi_0)$ , где  $P_m = P_{max}, P_{min}$ , и каждому нормированному значению амплитуды поля  $\phi_0 = f_0 a^3 / p$  соответствуют экстремальные значения суммарного дипольного момента. Поляризация поля ориентирована вдоль оси  $y$ , т. е. отсчитываемый от данной оси угол поляризации  $\psi = 0$  (а, з), и вдоль оси  $z$ , т. е.  $\psi = \pi/2$  (б, в). Диаграммы рассчитаны при нормированной частоте переменного поля  $\Omega = \tilde{\omega} / \nu = 1$  (а-в) и  $\Omega = 3$  (з); параметр диссипации  $\beta = 1$  (здесь и ниже). При этом, если на диаграмме одному значению управляющего параметра  $\phi_0$  отвечают две точки ветви (или

большее конечное их число), то реализуются регулярные колебательные режимы; множеству близко расположенных точек отвечает хаотическая (в редких случаях квазипериодическая) динамика. Кроме того, имеет место также динамическая бистабильность, когда при одних и тех же параметрах системы и внешних полей могут реализоваться различные динамические режимы. На установление того или иного динамического режима при этом влияют флуктуации параметров или же исходное состояние системы. На бифуркационной диаграмме различные, входящие в бистабильность колебательные режимы составляют разные ветви, которые на представленных диаграммах рис. 2 обозначены цифрами I и II (т. е. в зависимости от флуктуаций или начальных параметров реализуются колебания, к которым от-

носятся точки диаграммы на ветви I или точки на ветви II, но не те и другие одновременно).

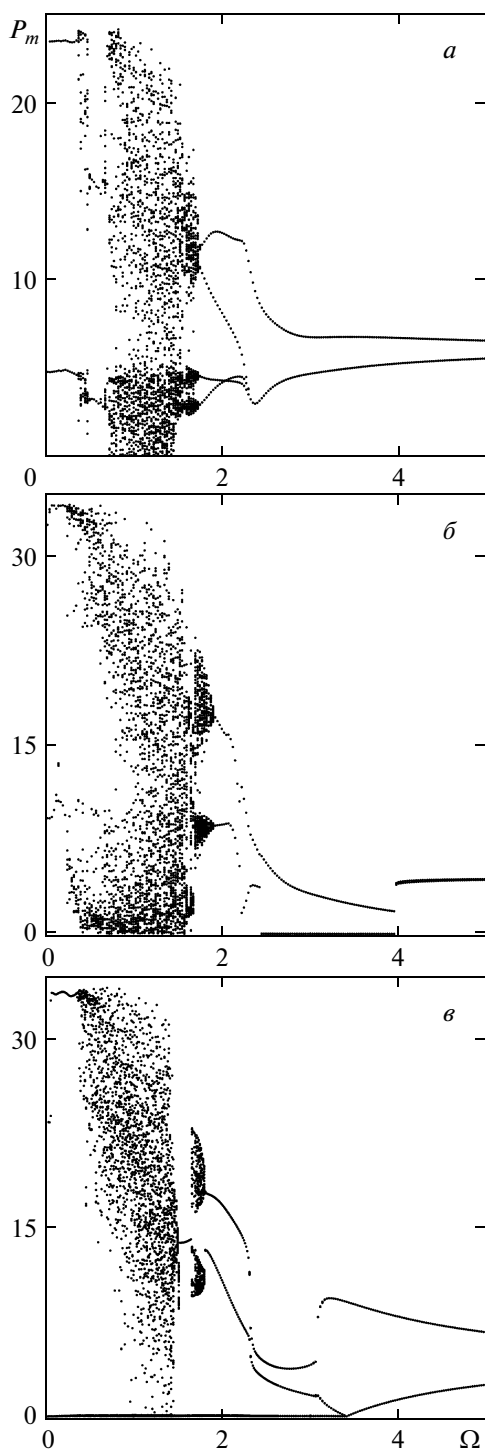
Из приведенных диаграмм видно, что при достаточно малых полях (и на малых частотах), как правило, устанавливаются регулярные колебания; в случае же относительно больших амплитуд переменного поля имеют место хаотические колебания. Характер колебательных режимов зависит от равновесной конфигурации системы и поляризации внешнего поля. Трудно описать все разнообразие устанавливаемых колебаний в данных системах, кратко приведем лишь основные характеристики в случаях, охватываемых представленными диаграммами. В отличие от колебания дипольного момента системы  $5 \times 5$  (рис. 2б), совершаемых в плоскости  $yz$ , колебания дипольного момента системы  $6 \times 6$  происходят преимущественно вдоль одной из осей. В частности, при поляризации поля вдоль оси  $y$  (рис. 2а) для систем  $6 \times 6$   $z$ -составляющая регулярных колебаний мала относительно  $y$ -составляющей, а для ветви I регулярные колебания происходят только вдоль оси  $y$ . При этом хаотические режимы затрагивают оба направления колебаний, т. е. реализуются в плоскости  $yz$ . В случае же поляризации поля вдоль оси  $z$  (рис. 2в) для систем  $6 \times 6$  как регулярные, так и хаотические колебания суммарного дипольного момента линейно поляризованы и совершаются только вдоль оси  $z$ . Диаграмма на рис. 2г отвечает большому значению частоты переменного поля ( $\Omega = 3$ ), поэтому при данных значениях амплитуды  $\phi_0$  имеют место только регулярные режимы (хаотические колебания наступают при больших  $\phi_0$ ). Колебания в данном случае происходят преимущественно вдоль оси  $y$ : колебания, относящиеся к ветви II, совсем не имеют  $z$ -составляющей, а колебания ветви I совершаются главным образом вдоль оси  $y$  при малой амплитуде изменения модуля суммарного дипольного момента ( $\Delta P_y \approx 2$  при  $\Delta P < 0.1$ ).

При рассмотрении бифуркационных диаграмм, относящихся к системе  $6 \times 6$ , важно обратить внимание на следующее. Ветви колебательных режимов II при стремлении амплитуды переменного поля к нулю приближаются к нулевому значению суммарного дипольного момента  $P$ ; ветви же I при  $\phi_0 \rightarrow 0$  имеют ненулевое значение  $P \approx 4.5$ . Это говорит о том, что в первом случае конфигурация системы близка к симметричной равновесной конфигурации, отвечающей рис. 1в, а во втором случае — к конфигурации, отвечающей рис. 1б. Отсюда мы имеем следующий способ перехода от несимметричной равновесной конфигурации (рис. 1б) (устанавливающейся после выключения однородного ориентирующего

поля) к симметричной равновесной конфигурации (рис. 1в). Возбуждая слабым переменным полем колебательный режим при исходной несимметричной равновесной конфигурации, мы оказываемся на ветви I бифуркационной диаграммы; далее, увеличивая амплитуду переменного поля, мы приходим к бифуркации, при которой режимы ветви I становятся неустойчивыми, и динамика дипольного момента переходит к режимам ветви II (см., в частности, рис. 2г); после чего с уменьшением и выключением переменного поля система переходит в симметричную равновесную конфигурацию (рис. 1в). Заметим, что на диаграмме рис. 2а имеет место случай, когда неустойчивой при определенных значениях  $\phi_0$  становится как ветвь I, так и ветвь II. Таким образом, реализуется не только динамический переход от несимметричной равновесной конфигурации к симметричной, но и обратный динамический переход — от состояния на рис. 1в к состоянию на рис. 1б.

Здесь необходимо подчеркнуть, что в случае системы  $5 \times 5$ , а также системы  $6 \times 6$  при исходной равновесной конфигурации изменение поляризации переменного поля на ортогональное не меняет устанавливаемых колебательных режимов, за исключением их ориентации. В случае же системы  $6 \times 6$  при исходной несимметричной конфигурации различно поляризованные переменные поля, как правило, приводят к разным колебательным режимам. Приведенные бифуркационные диаграммы для системы  $6 \times 6$  были получены при несимметричной исходной конфигурации, за исключением области пересечения ветвей I и II (ветвь II в данной области достраивалась дополнительно при симметричной равновесной конфигурации).

На рис. 3 приведены диаграммы для суммарного дипольного момента  $P$  систем  $5 \times 5$  и  $6 \times 6$  на плоскости  $(P_m, \Omega)$ . Амплитуда переменного поля  $\phi_0 = 2$ , а его поляризация вдоль оси  $z$  (а, в) или вдоль оси  $y$  (б). В случае системы  $5 \times 5$  колебания дипольного момента совершаются преимущественно вдоль оси  $z$ , имея в ряде областей (главным образом, в области хаотических режимов) небольшую составляющую по оси  $y$ . То же, только с поворотом ориентаций, имеет место для системы  $6 \times 6$  при поляризации поля вдоль оси  $y$  (рис. 3б), т. е.  $z$ -составляющая колебаний величины  $P$  в некоторых областях частоты  $\Omega$  мала по сравнению с  $y$ -составляющей, а в некоторых областях отсутствует (последнее для выбранных параметров имеет место вблизи значения  $\Omega = 3$ ). В случае же поляризации поля вдоль оси  $z$  колебания дипольного момента системы  $6 \times 6$  (рис. 3в) совершаются только вдоль оси  $z$  — линейно поляризованные



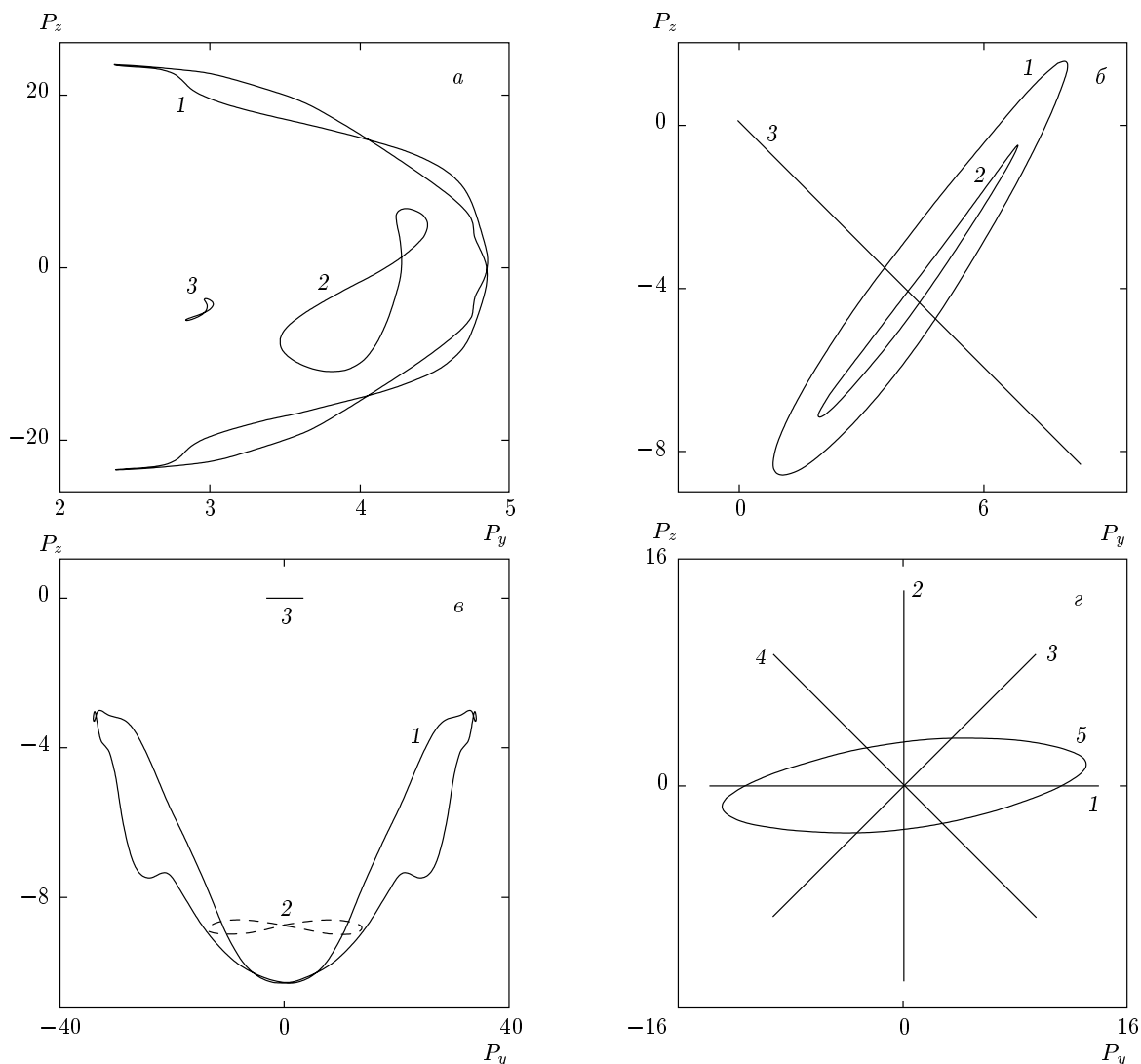
**Рис. 3.** Диаграммы зависимости экстремумов суммарного дипольного момента систем  $5 \times 5$  (*a*) и  $6 \times 6$  (*b, v*) от частоты внешнего поля при его амплитуде  $\phi_0 = 2$  и угле поляризации  $\psi = \pi/2$  (*a, v*),  $0$  (*b*)

колебания.

На рис. 3*б* обращает на себя внимание бифуркация, возникающая при  $\Omega \approx 4$ : слева (при меньших частотах) от данной бифуркации величина  $P$  совершает колебания относительно нулевого значения, а справа имеет место постоянная составляющая  $P \approx 4.5$ . Отсюда следует, что в первом случае (при частотах  $\Omega < 4$ ) выключение переменного поля приведет систему  $6 \times 6$  к симметричной равновесной конфигурации (рис. 1*в*), а во втором случае (при колебательных режимах справа от указанной бифуркации) выключение поля приведет систему к несимметричной равновесной конфигурации (рис. 1*б*).

Из рис. 3 также видно, что при малых частотах переменного поля ( $\Omega < 0.2-0.3$ ) для обеих систем характерными являются регулярные высокоамплитудные колебания величины суммарного дипольного момента массива (амплитуда колебаний  $\Delta P$  близка к максимальной величине суммарного дипольного момента системы  $P = N$ , где  $N$  — число диполей в массиве). При больших частотах ( $0.2-0.3 < \Omega < 1.5-2.0$ ) возникают хаотические колебания дипольного момента. При дальнейшем увеличении частоты поля устанавливаются регулярные колебания с амплитудой, на порядок меньшей максимальной величины дипольного момента массива, причем с ростом частоты поля амплитуда колебаний уменьшается.

Рассмотрим траектории некоторых из устанавливаемых динамических режимов. На рис. 4 приведены траектории стационарных регулярных режимов дипольного момента систем  $5 \times 5$  и  $6 \times 6$  при амплитуде поля  $\phi_0 = 2$  и различных значениях его частоты  $\Omega$ ; угол поляризации поля:  $\psi = \pi/2$  (*a*), т.е. по оси  $z$ ,  $\psi = \pi/4$  (*б* — кривые 1 и 2),  $\psi = 3\pi/4$  (*б* — кривая 3),  $\psi = 0$  (*в*), т.е. по оси  $y$ ,  $\psi = 0, \pi/2, \pi/4, 3\pi/4, \pi/8$  (*г* — кривые 1–5). Для систем  $6 \times 6$  в случае рис. 4*в* исходной являлась несимметричная равновесная конфигурация (рис. 1*б*), а в случае рис. 4*г* — симметричная конфигурация (рис. 1*в*). Из приведенного рис. 4 видно, что для обоих массивов траектория высокоамплитудных колебаний, устанавливаемых при  $\Omega < 0.3$ , имеет форму, близкую к серповидной, которая симметрична относительно оси, ортогональной направлению поляризации переменного поля. С ростом частоты поля амплитуда колебательных режимов уменьшается. В случае массива  $5 \times 5$  при поляризации поля вдоль диагоналей системы колебательные режимы или оказываются линейно поляризованными (рис. 4*б* — кривая 3), или имеют траекторию близкую к вытянутому эллипсу (кривые 1 и 2); для массивов с большим числом диполей



**Рис. 4.** Траектории регулярных режимов дипольного момента систем  $5 \times 5$  ( $a, б$ ) и  $6 \times 6$  ( $в, г$ ) при  $\phi_0 = 2$  на частоте  $\Omega = 0.2, 2.0, 3.0$  ( $a, в$  — кривые 1–3),  $2.5$  ( $б$  — 1, 3),  $3.0$  ( $б$  — 2),  $2.0$  ( $г$ ); угол поляризации  $\psi = \pi/2$  ( $a$ ),  $\pi/4$  ( $б$  — 1, 2),  $3\pi/4$  ( $б$  — 3),  $0$  ( $в$ ;  $г$  — 1),  $\pi/2$  ( $г$  — 2),  $\pi/4$  ( $г$  — 3),  $3\pi/4$  ( $г$  — 4),  $\pi/8$  ( $г$  — 5); для систем  $6 \times 6$  исходными являются несимметричная ( $в$ ) и симметричная ( $г$ ) конфигурации

( $7 \times 7, 9 \times 9$  и т. д.) характерными при этом являются эллиптические траектории. В случае массива  $6 \times 6$  с исходной симметричной равновесной конфигурацией (рис. 4г) колебательные режимы линейно поляризованы в направлении поляризации переменного поля при ориентации последнего как вдоль сторон массива, так и вдоль его диагоналей; при другой поляризации поля траектории колебаний дипольного момента становятся эллиптическими.

Колебания дипольного момента массива  $6 \times 6$  с исходной несимметричной равновесной конфигурацией при поляризации поля вдоль оси  $z$  (ортогональ-

ной той, вдоль которой было направлено стационарное поле для установления данной конфигурации) как в случае регулярных, так и в случае хаотических режимов являются линейно поляризованными вдоль этой же оси. На рис. 5 для данного случая приведены зависимости от времени величины суммарного дипольного момента при установившихся (отсчет времени поставлен условно) регулярных и хаотических колебательных режимах под воздействием переменного поля с  $\phi_0 = 2$  на различных частотах  $\Omega$ . Видно, что регулярные колебания близки к гармоническим, и в наибольшей степени это спра-

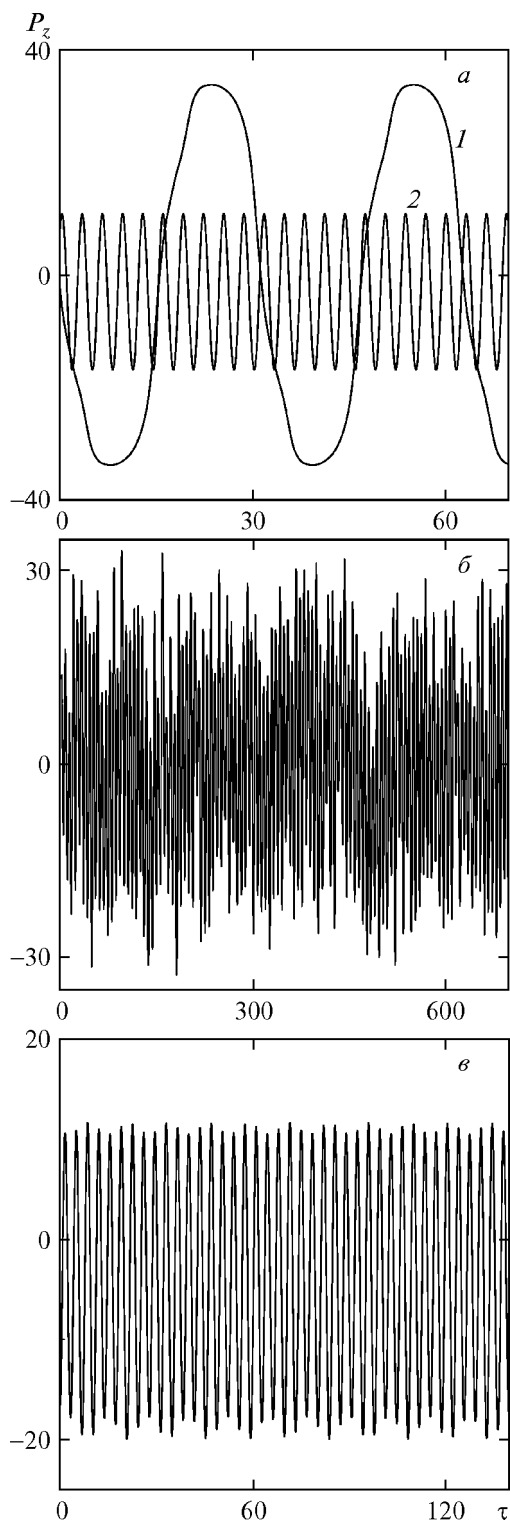


Рис. 5. Зависимости от времени величины суммарного дипольного момента при регулярных (а) и хаотических (б, в) колебательных режимах под воздействием поля с  $\phi_0 = 2$  на частотах  $\Omega = 0.2$  (а — кривая 1), 2.0 (а — кривая 2), 0.1 (б), 1.8 (в)

ведливо для режимов на больших частотах. Хаотические колебания также могут быть близки к гармоническим, с добавлением слабой зашумленности, которая в небольшом интервале варьирует амплитуду колебаний (рис. 5 в). Однако, как видно из приведенных выше бифуркационных диаграмм (рис. 2 и рис. 3), наиболее характерными, отвечающими большим интервалам значений управляющих параметров, являются режимы с сильной хаотичностью, когда амплитуда колебаний может быть произвольной (в пределах  $0 < P \leq N$ ).

На рис. 6 показано развитие хаотичности — увеличение зашумленности колебаний величины дипольного момента, — возникающее при понижении частоты переменного поля, на примере аттракторов хаотических режимов для систем  $5 \times 5$  при  $\psi = \pi/2$ ,  $\phi_0 = 2$  и различных значениях  $\Omega$ . Аттрактор (рис. 6а) мало отличается от аттрактора регулярного режима — слабая хаотизация, незначительно влияя на амплитуду колебаний, привела лишь к некоторому его размыванию. С уменьшением поля аттрактор расширяется (рис. 6б) и режим становится более хаотичным. Далее наблюдается «сборка» странного аттрактора в узкий (со слабой хаотичностью) аттрактор сложных по траектории колебаний с периодом, значительно превосходящим период внешнего переменного поля (рис. 6в). Дальнейшее уменьшение частоты приводит к расширению аттрактора и установлению колебательного режима с сильной хаотичностью (рис. 6г).

Хаотическим колебаниям могут предшествовать (в плане изменения управляющего параметра) также квазипериодические режимы [7]. На рис. 7 для массива  $6 \times 6$  представлен переход квазипериодических колебаний к хаотической динамике при уменьшении частоты внешнего поля  $\Omega$  с амплитудой  $\phi_0 = 2$  при угле поляризации  $\psi = 0$  и несимметричной исходной конфигурации системы. Узкий аттрактор (рис. 7а) квазипериодического режима расширяется (рис. 7б) с уменьшением частоты, далее он снова становится достаточно узким, но более сложным по траектории (рис. 7в). Заметим, что подобные преобразования аттрактора — расширение и последующее его сужение при одновременном усложнении траектории — с дальнейшим изменением параметра происходят неоднократно. Далее аттрактор квазипериодического режима (рис. 7г) переходит в узкий аттрактор (рис. 7д). Затруднительно сказать, является ли режим с данным аттрактором (рис. 7д) квазипериодическим или хаотическим (со слабым шумом), однако видно, что должен иметь место аналогичный режим с симметричным (относительно вер-



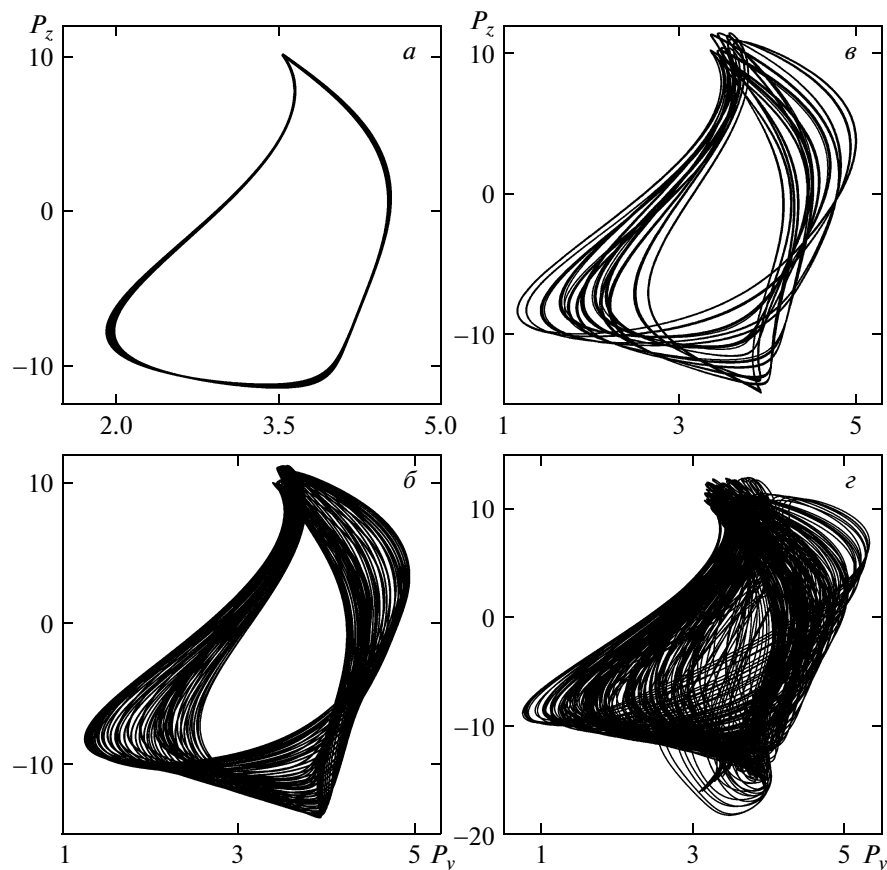


Рис. 6. Развитие хаотичности при понижении частоты поля: аттракторы режимов для систем  $5 \times 5$ ;  $\psi = \pi/2$ ,  $\phi_0 = 2$ ,  $\Omega = 1.75$  (а), 1.71 (б), 1.70 (в), 1.65 (г)

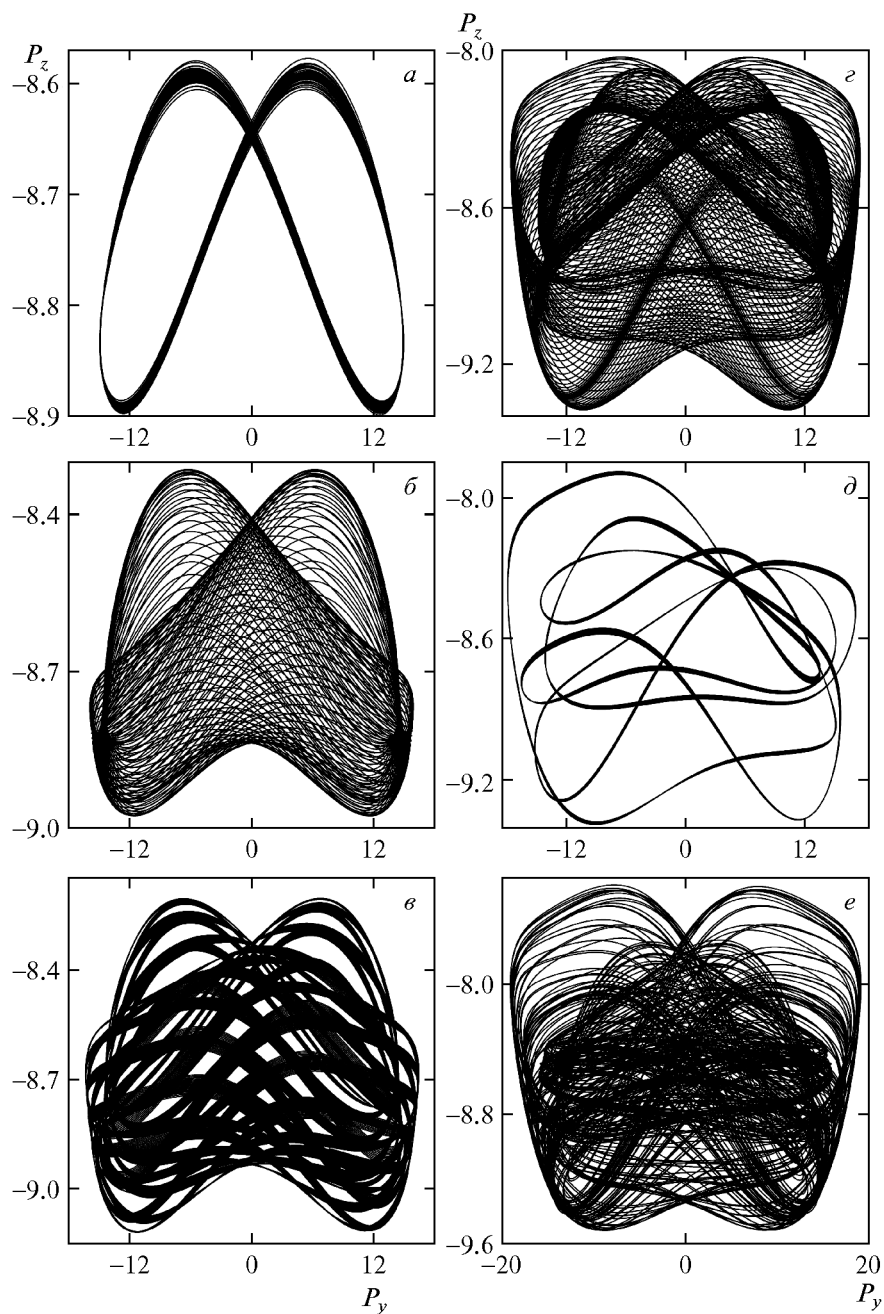
тикальной оси) аттрактором; т. е. возникает состояние динамической бистабильности — устанавливается один из двух симметричных по траектории режимов. При дальнейшем уменьшении частоты, очевидно, происходит «слияние» двух указанных симметричных аттракторов в один странный аттрактор, отвечающий режиму с развитой хаотичностью. Таким образом, видно, что уже незначительное изменение частоты внешнего поля (в представленных случаях  $\Delta\Omega = 0.1$ ) может приводить слабо хаотические режимы к режиму сильного хаоса в динамике дипольного момента систем, а также к ряду преобразований аттракторов квазипериодических колебаний, в том числе и к переходу их к хаотической динамике.

### 5. СТОХАСТИЧЕСКИЙ РЕЗОНАНС ПРИ ДИНАМИЧЕСКОЙ БИСТАБИЛЬНОСТИ

При наличии динамической бистабильности могут возникнуть условия, необходимые для реализации такого эффекта, как стохастический резонанс.

Данный эффект проявляется в том, что в отсутствие шума имеет место слабый отклик системы на внешнее периодическое воздействие, но при дополнительном воздействии шумового сигнала периодический отклик значительно возрастает, достигая максимума при определенном уровне шума. В случае динамической бистабильности шумовой сигнал «перебрасывает» динамику системы с одного аттрактора на другой, который при выбранных параметрах оказывается более устойчивым (т. е. имеет в фазовой плоскости больший бассейн). После этого периодическое внешнее воздействие приводит параметры к таким значениям, при которых второй из указанных аттракторов становится неустойчивым, и динамика системы возвращается к режиму, близкому к исходному [12]. Описанная ситуация возникает в случае массива  $6 \times 6$ , когда имеет место бистабильность при частоте внешнего поля  $\Omega = 1$ , поляризованно вдоль оси  $y$  и имеющего амплитуду  $0.5 < \phi_0 < 1$  (см. рис. 2а).

Для реализации в рассматриваемой системе опи-



**Рис. 7.** Аттракторы квазипериодических режимов (*a-d*) для массива  $6 \times 6$ , переходящие с уменьшением частоты поля в аттрактор хаотического режима (*e*); частота  $\Omega = 1.92$  (*a*),  $1.90$  (*b*),  $1.89$  (*c*),  $1.86$  (*d*),  $1.85$  (*e*), амплитуда  $\phi_0 = 2$ , угол поляризации  $\psi = 0$ , исходная конфигурация несимметричная

санного стохастического эффекта будем использовать дополнительное переменное поле той же поляризации и аддитивный шумовой сигнал. Дополнительное поле будет выступать в роли гармонического сигнала, который обеспечивает изменение устой-

чивости входящих в бистабильность динамических режимов и тем самым обуславливает переход между аттракторами (относящимися на диаграмме рис. 2*a* к разным ветвям — I и II). Полное внешнее поле запишем в следующем виде:

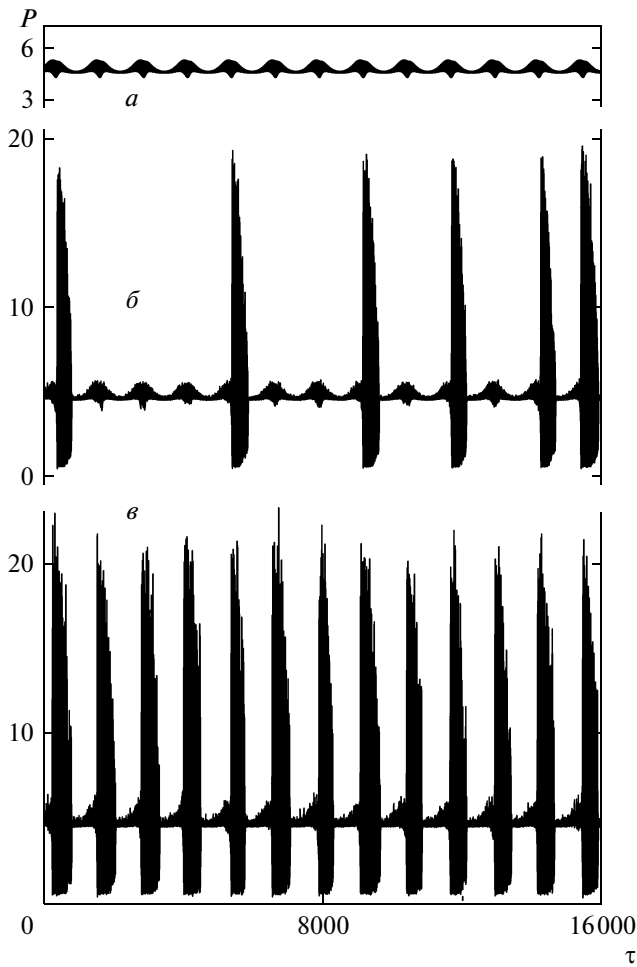


Рис. 8. Зависимости от времени величины дипольного момента системы  $6 \times 6$  при ориентированных по оси  $y$  полях с параметрами  $\phi_0 = 0.67$ ,  $\Omega_0 = 1$  и  $\phi_1 = 0.25$ ,  $\Omega_1 = 5 \cdot 10^{-3}$ , при разной интенсивности шума:  $D = 0$  (а), 2 (б), 12 (в)

$$\phi(\tau) = \phi_0 \sin(\Omega_0 \tau) + \phi_1 \sin(\Omega_1 \tau) + \xi(\tau), \quad (4)$$

где  $\xi(\tau)$  — гауссов белый шум с нулевым средним значением и функцией корреляции  $\langle \xi(\tau)\xi(\tau + \zeta) \rangle = 2D\delta(\zeta)$  с интенсивностью  $2D$ ;  $\phi_1$  и  $\Omega_1$  — амплитуда и частота дополнительного переменного поля.

На рис. 8 представлены зависимости от времени дипольного момента системы  $6 \times 6$  при ориентированных по оси  $y$  внешних переменных полях с параметрами  $\phi_0 = 0.67$ ,  $\Omega_0 = 1$  и  $\phi_1 = 0.25$ ,  $\Omega_1 = 5 \cdot 10^{-3}$  при разных значениях интенсивности шума  $D$ . Из рис. 8а видно, что при отсутствии шума отклик системы на дополнительный гармонический сигнал мал — колебательные режимы дипольного момента остаются в пределах ветви I (см. рис. 2а). При от-

носительно слабом шуме на определенном интервале фазы дополнительного поля возникают высокоамплитудные колебания дипольного момента, обусловленные тем, что его динамика переходит в режимы ветви II бифуркационной диаграммы (после чего система снова переходит к исходным режимам ветви I). Однако данные высокоамплитудные колебания возникают не в каждом периоде дополнительного поля — их появление носит случайный характер (рис. 8б). С увеличением интенсивности шума данные «всплески» величины дипольного момента учащаются, и в итоге при достаточно сильном шуме они начинают происходить в каждом периоде дополнительного переменного поля (рис. 8в). Таким образом, влияние шума приводит к сильному росту отклика динамической системы на внешний гармонический сигнал, что и характеризует возникновение стохастического резонанса.

## 6. ЗАКЛЮЧЕНИЕ

Проведенный анализ квадратных массивов диполей показал, что их равновесная конфигурация может быть двух типов. При одном типе конфигурация оказывается симметричной относительно диагонали массива и в центре системы характерным является «седлообразная» ориентация дипольных моментов. В случае другого типа равновесной конфигурации в центральной области массива дипольные моменты выстраиваются вдоль сторон массива, составляя пары рядов с взаимно противоположными направлениями дипольных моментов. При этом первый — симметричный — тип равновесной конфигурации наблюдается в любых массивах, больших  $3 \times 3$ . В системах с четным числом элементов —  $4 \times 4$ ,  $6 \times 6$ ,  $8 \times 8$ ,  $10 \times 10$  — данная конфигурация имеет ось симметрии четвертого порядка и нулевой суммарный дипольный момент. Несимметричный тип равновесной конфигурации наблюдается только в системах с четным числом элементов —  $6 \times 6$ ,  $8 \times 8$ ,  $10 \times 10$  (а также в массиве  $3 \times 3$ ). Таким образом, в случае указанных выше массивов наблюдается два типа равновесной конфигурации. Несимметричная равновесная конфигурация устанавливается после предварительного включения и последующего выключения внешнего статического поля, ориентированного вдоль сторон массива. Системы с нечетным числом диполей —  $5 \times 5$ ,  $7 \times 7$ ,  $9 \times 9$  — после выключения данного статического поля приходят к симметричной конфигурации. Установление симмет-

ричной равновесной конфигурации диполей систем с четным числом элементов связано с определенными трудностями. Приведенный анализ показал, что в этом случае требуется динамическое установление конфигурации: системы при исходной несимметричной конфигурации подвергаются воздействию переменного поля, возбуждающего определенные колебательные режимы суммарного дипольного момента, после выключения которых устанавливается уже система симметричной равновесной конфигурации.

С помощью бифуркационных диаграмм проведен анализ колебательных режимов суммарного дипольного момента массивов, при котором выявлены области значений параметров внешнего переменного поля, отвечающие регулярным и хаотическим динамическим режимам. В частности, показано, что на малых частотах ( $\Omega < 0.3$ ) устанавливаются колебания с  $P \approx N$  (или  $P_j \approx N$ ); далее следует область хаотической динамики, после которой ( $\Omega \geq 2$ ) следует область регулярных колебаний с амплитудой, уменьшающейся с ростом частоты поля. Показано, что разным исходным равновесным конфигурациям отвечают различные колебательные режимы. Так, в отличие от систем с симметричной равновесной конфигурацией, в случае несимметричной конфигурации воздействие переменного поля с поляризацией вдоль разных сторон системы приводит к существенно различным колебательным режимам. Дополнительные исследования показали, что максимальные и минимальные по амплитуде колебания модуля суммарного дипольного момента для систем с несимметричной равновесной конфигурацией достигаются при поляризации поля вдоль разных сторон массива; для массивов с симметричной конфигурацией амплитуда колебаний максимальна при поляризации поля вдоль любой из сторон системы и минимальна при поляризации вдоль диагоналей. Кроме того, в случае систем с несимметричной конфигурацией при поле, поляризованном перпендикулярно направлению дипольных моментов в центральной области массивов, как регулярные, так и хаотические колебательные режимы оказываются линейно поляризованными.

Рассмотрены различные аттракторы хаотических режимов, а также сценарии хаотизации динамики дипольного момента системы. В частности, приведен случай возникновения сильной хаотичности колебаний через «размывание» аттрактора регулярного режима при возникновении слабой хаотичности и дальнейшее (с уменьшением частоты поля) расширение странного аттрактора. Показано также возникновение хаотического режима через возник-

новение квазипериодических колебаний, изменения и усложнения их аттракторов с уменьшением частоты и далее их переход в хаотические колебания.

Выявлены параметры переменного поля, отвечающие возникновению динамической бистабильности, которая может быть использована для реализации стохастического резонанса. Показано, что в этом случае использование дополнительного переменного поля в качестве гармонического сигнала позволяет осуществить режим, когда ответ динамической системы на гармоническое воздействие сильно возрастает в условиях интенсивного шума, что объясняется перескоками колебаний дипольного момента системы с одного составляющего бистабильность аттрактора на другой. Полученные в ходе исследований результаты справедливы для различных по природе соответствующих систем диполей.

Работа выполнена при поддержке Министерства образования и науки РФ.

## ЛИТЕРАТУРА

1. R. Skomski, J. Phys.: Condens. Matter **15**, R841 (2003).
2. А. Ю. Галкин, Б. А. Иванов, Письма в ЖЭТФ **83**, 450 (2006).
3. С. А. Гусев, Ю. Н. Ноздрин, М. В. Сапожников, А. А. Фраерман, УФН **170**, 331 (2000).
4. I. A. Becker, A. Chatelain, and W. A. Heer, Phys. Rev. Lett. **71**, 4067 (1993).
5. С. П. Губин, Ю. А. Кокшаров, Неорганические материалы **38**, 1287 (2002).
6. И. Р. Каретникова, И. М. Нефедов, М. В. Сапожников, А. А. Фраерман, И. А. Шерешевский, ФТТ **43**, 2030 (2001).
7. В. С. Анищенко, В. В. Астахов, Т. Е. Вадивасова, А. Б. Нейман, Г. И. Стрелкова, Л. Шиманский-Гайер, *Нелинейные эффекты в хаотических и стохастических системах*, Институт компьютерных исследований, Москва–Ижевск (2003).
8. А. Ю. Лоскутов, А. С. Михайлов, *Основы теории сложных систем*, НИЦ РХД, Ижевск (2008).

9. A. M. Shutyi and D. I. Sementsov, *Chaos* **19**, 013110 (2009).
10. B. Xu and W. Zhou, *Chaos, Solitons, and Fractals* **38**, 1146 (2008).
11. L. Testa and M. Trapanese, *Physica B: Phys. Condens. Mat.* **403**, 486 (2008).
12. А. М. Шутый, *ФТТ* **52**, 1323 (2010).
13. A. M. Shutyi and D. I. Sementsov, *J. Appl. Phys.* **113**, 163904 (2013).
14. С. П. Губин, Ю. А. Кокшаров, Г. Б. Хомутов, Г. Ю. Юрков, *Успехи химии* **74**, 539 (2005).
15. Ф. В. Лисовский, О. П. Поляков, *Письма в ЖЭТФ* **73**, 546 (2001).
16. А. М. Шутый, *ЖЭТФ* **137**, 277 (2010).
17. А. М. Шутый, *Письма в ЖЭТФ* **97**, 601 (2013).